

تحلیل امواج راسی و گرانی- لختی در صفحه β با استفاده از توابع تجزیه متعامد سره

حسرو اشرفی^{۱*} و حید اصفهانیان^۲

^۱ استادیار گروه مهندسی محیط‌زیست، دانشکده محیط‌زیست دانشگاه تهران، ایران

^۲ استاد دانشکده مکانیک، پردیس دانشکده‌های فنی دانشگاه تهران، ایران

(دریافت: ۸۵۹۴، پذیرش نهایی: ۸۶۶۱۷)

چکیده

در مقاله حاضر از توابع تجزیه متعامد سره (POD) برای تحلیل و ارزیابی امواج راسی و گرانی استفاده شده است. توابع POD در واقع عصاره و چکیده مجموعه‌های از داده‌ها هستند که با نمونه‌برداری از داده‌های تحلیلی، تجربی یا عددی بدست می‌آیند. این توابع را می‌توان برای کاهش مرتبه داده‌ها یا معادلات حاکم (با تصویر گالرکین معادلات حاکم روی توابع متعامد) مورد استفاده قرار داد. در مقاله حاضر داده‌ای لازم برای تشکیل توابع POD از داده‌های تحلیلی مربوط به تک موج‌های راسی و گرانی- لختی که در مدت زمان خاصی ذخیره شده‌اند، استفاده شده است. با استفاده از معادلات آب کم‌عمق خطی‌سازی شده که حاوی امواج راسی و گرانی- لختی است و با تصویر این معادلات روی توابع POD (بدست آمده از نمونه‌برداری) یک مدل رتبه کاسته بدست می‌آید. از این مدل رتبه کاسته به مثابه ابزاری برای تحلیل امواج راسی و گرانی استفاده شده است. نتایج نشان می‌دهد که برای اینکه بتوان یک تک موج راسی را با توابع POD مدل‌سازی کرد، به دو مود POD نیاز است. در صورتی که برای شبیه‌سازی یک تک‌موج گرانی- لختی به چهار مود POD نیاز داریم، همچنین برای اینکه بتوان دینامیک یک تک موج راسی را با مودهای POD مدل‌سازی کرد نیازی نیست که فاصله زمانی داده‌داری کوتاه باشد؛ به طوری که با ۱۰۰ نمونه در ۵ ساعت اول یا ۲۴ ساعت اول می‌توان دینامیک امواج را با دقت مناسبی تا ۱۲۰ ساعت و بیشتر با مدل رتبه کاسته POD پیش‌بینی کرد. در صورتی که برای پیش‌بینی یک تک‌موج گرانی- لختی با این مدل رتبه کاسته تا ۹۶ ساعت به ذخیره‌سازی ۴۰۰ نمونه در ۱۰٪ ساعت نیاز است.

واژه‌های کلیدی: امواج راسی، امواج گرانی، تجزیه متعامد سره (POD)، معادلات آب کم‌عمق خطی‌سازی شده، مدل رتبه کاسته

۱ مقدمه

به سادگی نمی‌توان توازن یا نبود توازن جوی را فقط به این امواج نسبت داد یا اینکه سهم نبود توازنی مربوط به امواج گرانی- لختی را به دقت تعیین کرد، چراکه این مسئله کاملاً به نوع شارش وابسته است. در تحلیل‌های مربوط به امواج راسی و گرانی- لختی از ابزارهای متفاوتی استفاده شده است که از آن جمله می‌توان به تحقیقات دیکسون (۱۹۷۸)، هاسکیتز و همکاران (۱۹۸۵)، فورد و همکاران (۲۰۰۰)، ویودز و دیریچل (۲۰۰۲) و دیریچل و ویودز (۲۰۰۳) اشاره کرد. در اکثر این تحقیقات بیشتر به توازن و نبود توازن جوی پرداخته شده است که به صورت ضمنی مسئله امواج راسی و گرانی را دربر دارد. استفاده از ابزارهای جدید می‌تواند همچنان در درک بهتر این امواج

امواج در پژوهش‌های جوی از جایگاه ویژه‌ای برخوردارند. یکی از مهم‌ترین مسائل قابل توجه در امواج جوی، مقیاس‌های زمانی و مکانی این امواج است، چراکه امواج موجود در جو دارای مقیاس‌های بسیار متفاوتی‌اند. امواج راسی و گرانی از مهم‌ترین امواج جوی‌اند که در پدیده‌های جوی تأثیر بهسزایی دارند. امواج راسی (راسی، ۱۹۳۹) دارای سرعت انتشار پایین چندین سانتی‌متر بر ثانیه و طول موجی در حدود صدها کیلومترند. در حالی که امواج گرانی- لختی دارای سرعت انتشار چند صد متر بر ثانیه و طول موجی در مقیاس مترند. همچنین امواج راسی و گرانی در توازن زمینگرد جوی نقش اساسی دارند (دیریچل و ویودز، ۲۰۰۳)، هر چند که

می‌شوند. در بخش سوم توابع POD و چگونگی تشکیل آنها مطرح می‌شود و در ادامه در بخش چهارم و پنجم به ترتیب مدل‌سازی رتبه کاسته تک موج راسی و تک موج گرانی-لختی با استفاده از توابع POD بیان می‌شوند. در نهایت در بخش ششم مقاله با مجموعه نکات نهایی، جمع‌بندی صورت می‌گیرد.

۲ امواج راسی و گرانی

برای بررسی امواج راسی و گرانی-لختی از معادلات آب کم عمق خطی‌سازی شده استفاده می‌شود. معادلات آب کم عمق غیرخطی دو بعدی در یک مختصات چرخان در شکل بسیط به صورت زیر نوشته می‌شوند (هالنیر و ویلیامز، ۱۹۸۰).

$$\frac{\partial u}{\partial t} + u \frac{\partial u}{\partial x} + v \frac{\partial u}{\partial y} - fv + g \frac{\partial h}{\partial x} = 0 \quad (1)$$

$$\frac{\partial v}{\partial t} + u \frac{\partial v}{\partial x} + v \frac{\partial v}{\partial y} + fu + g \frac{\partial h}{\partial y} = 0 \quad (2)$$

$$\frac{\partial h}{\partial t} + u \frac{\partial h}{\partial x} + v \frac{\partial h}{\partial y} + h \left(\frac{\partial u}{\partial x} + \frac{\partial v}{\partial y} \right) = 0 \quad (3)$$

در معادلات بالا u و v به ترتیب مؤلفه‌های سرعت در راستای x و y ، h ارتفاع سطح آزاد شاره از کف و f پارامتر کوریولیس هستند. با خطی‌سازی معادلات (۱) تا (۳) حول حالت پایه ساکن با ارتفاع H معادلات خطی‌سازی شده به شکل زیر نوشته می‌شوند (هالنیر و ویلیامز، ۱۹۸۰).

$$\frac{\partial \tilde{u}}{\partial t} + g \frac{\partial \tilde{h}}{\partial x} - f \tilde{v} = 0 \quad (4)$$

$$\frac{\partial \tilde{v}}{\partial t} + g \frac{\partial \tilde{h}}{\partial y} + f \tilde{u} = 0 \quad (5)$$

$$\frac{\partial \tilde{h}}{\partial t} + H \left(\frac{\partial \tilde{u}}{\partial x} + \frac{\partial \tilde{v}}{\partial y} \right) = 0 \quad (6)$$

فیزیکی و پدیده‌های مربوط به آنها مؤثر باشد. در این مقاله ابزار جدید مورد استفاده برای تحلیل و ارزیابی امواج راسی و گرانی-لختی کاربرد توابع تجزیه متعامد سره (POD) به معادلات آب کم عمق خطی‌سازی شده به منظور بررسی این امواج است.

نخستین بار روش تجزیه متعامد سره را کارهانی (۱۹۴۶) و لووی (۱۹۴۶) به صورت مستقل ارائه کردند و به همین دلیل این روش به بسط K-L نیز معروف است. تجزیه متعامد سره یک روش کاهش تعداد درجات آزادی برای مسائل پیچیده است. در واقع با استفاده از توابع POD تعداد درجات آزادی کمتر و کافی از شاره شناسایی می‌شوند که مشخص کننده رفتار شاره‌اند. این روش را در مسئله‌های متفاوتی اعمال کرده‌اند. تا سال ۱۹۸۰ این روش اغلب در تحلیل داده‌های آماری با حجم زیاد مورد استفاده قرار گرفت. این روش در مسائلی از قبیل پردازش تصویر، تحلیل سیگنانل، فشرده‌سازی داده‌ها و شناسایی فرایندها به کار رفته است (هلمز و همکاران، ۱۹۹۶). نخستین بار این روش در بررسی مسائل تلاطم POD نامیده شد (لاملی، ۱۹۶۷). پیشرفت قابل توجه در این روش هنگامی به وجود آمد که فن نمونه‌گیری لحظه‌ای (snapshot) در چارچوب این روش قرار گرفت (سیروویچ، ۱۹۸۷). در سال‌های اخیر نیز توابع POD در مدل‌سازی رتبه کاسته به روش‌های متفاوتی مورد استفاده قرار گرفته است (سیروساب و همکاران، ۲۰۰۵؛ اصفهانیان و اشرفی، ۱۳۸۴؛ اشرفی، ۱۳۸۵).

در این مقاله با استفاده از حل تحلیلی معادلات آب کم عمق خطی‌سازی شده، داده‌های لازم برای تشکیل توابع POD فراهم می‌شود. با استفاده از این توابع و تصویر گالرکین معادلات روی توابع محاسبه شده، ابزاری برای تحلیل رفتار امواج راسی و گرانی حاصل می‌شود. به این ترتیب در بخش دوم معادلات آب کم عمق خطی‌سازی شده ارائه شده و امواج راسی و گرانی از آنها استخراج

$$h_s = iH \left(\frac{kf}{\omega^2 - gHk^2} \sin ly - \frac{l\omega}{\omega^2 - gHk^2} \cos ly \right) e^{ikx} \quad (14)$$

در معادلات بالا k و l به صورت زیر تعریف می‌شوند.

$$k = \frac{2\pi K}{L_x} \quad K = 1, 2, 3, \dots \quad \text{and} \quad l = \frac{\pi L}{L_y} \quad L = 1, 2, 3, \dots \quad (15)$$

که در آن L_x و L_y به ترتیب طول و عرض کانال‌اند و مقادیر L_x و L_y به ترتیب در اینجا ۱۰۰۰۰ کیلومتر و ۴۰۰۰ کیلومتر در نظر گرفته شده‌اند. همچنین مقدار H برابر با ۱۰ کیلومتر فرض می‌شود. حل معادله (۱۱) سه مقدار متفاوت برای ω نتیجه می‌دهد که در واقع این سه ریشه بیان کننده بسامد امواج موجود در معادلات آب کم‌عمق خطی است. از آنجاکه بسامد امواج راسی بسیار کوچک است پس برای به دست آوردن حل تقریبی امواج راسی می‌توان از ω^3 در مقابل سایر جملات صرف نظر کرد. بنابراین بسامد امواج راسی به صورت زیر به دست می‌آید.

$$\omega \cong -\frac{k\beta}{(k^2 + l^2) + f_0^2/gH} \quad (16)$$

برای به دست آوردن حل تقریبی امواج گرانی-لختی که بسامد زیادی دارند، می‌توان در معادله (۱۱) از جمله آخر در مقابل سایر جملات صرف نظر کرد. پس حل تقریبی برای امواج گرانی لختی به صورت زیر به دست می‌آید.

$$\omega \cong \pm(gH)^{1/2} \left(k^2 + l^2 + f_0^2/gH \right)^{1/2} \quad (17)$$

هرچند که در معادلات بالا حل‌های تقریبی برای امواج راسی و گرانی به دست آمدند ولی می‌توان برای یک H داده شده و هر k و l ، مقادیر حل دقیق بسامدهای امواج راسی و گرانی را به صورت عددی به دست آورد (با حل معادله (۱۱) به صورت عددی با استفاده از روش نیوتن). در این تحقیق از این حل‌های دقیق برای دستیابی

در معادلات بالا \tilde{u} و \tilde{v} مقادیر پریشیدگی از حالت پایه ساکن و \tilde{h} مقدار پریشیدگی از H هستند. در حالت برداری می‌توان معادلات (۴) تا (۶) را به صورت زیر نوشت.

$$\frac{\partial V}{\partial t} + AV = 0 \quad (7)$$

که در آن

$$A = \begin{pmatrix} 0 & -f & g \frac{\partial}{\partial x} \\ f & 0 & g \frac{\partial}{\partial y} \\ H \frac{\partial}{\partial x} & H \frac{\partial}{\partial y} & 0 \end{pmatrix}, \quad V = \begin{pmatrix} \tilde{u} \\ \tilde{v} \\ \tilde{h} \end{pmatrix} \quad (8)$$

برای استخراج امواج راسی و گرانی-لختی از این معادلات می‌بایست مودهای بهنجار دستگاه به دست آیند. برای این منظور جواب‌ها به صورت زیر نوشته می‌شوند.

$$V = V_s e^{-i\omega t} \quad (9)$$

در معادله بالا V_s بخش مکانی جواب و ω بسامد آن است. با جانشانی معادله (۹) در معادله (۷) رابطه زیر حاصل می‌شود.

$$AV_s - i\omega V_s = 0 \quad (10)$$

این مسئله برای یک کانال با شرایط مرزی دوره‌ای در جهت X و شرایط مرزی سخت در جهت Y و فرض صفحه بنا به صورت $f = f_0 + \beta(y - y_0)$ که در آن $\beta = 1.6 \times 10^{-11} \text{ s}^{-1} \text{ m}^{-1}$ و $f_0 = 1.5 \times 10^{-4} \text{ s}^{-1}$ هستند، حل شده است. نتایج این حل برای ω و V_s به صورت زیر است (هالتینر و یلیامز، ۱۹۸۰؛ محب الحجه، ۱۳۷۰).

$$\omega^3 - [f_0^2 + (k^2 + l^2)gH]\omega - gHk\beta = 0 \quad (11)$$

$$u_s = i \left(\frac{f\omega}{\omega^2 - gHk^2} \sin ly - \frac{klgH}{\omega^2 - gHk^2} \cos ly \right) e^{ikx} \quad (12)$$

$$v_s = \sin ly e^{ikx} \quad (13)$$

ضرب داخلی $(\Phi, U^{(i)})$ را به دست آورد، به طوری که تا حد امکان این تابع با دنباله $U^{(i)}$ موازی است. ضرب داخلی برای دو تابع دلخواه برداری f و g به صورت زیر تعریف می‌شود.

$$(f, g) = \int_{\Omega} f(x)g(x)dx \quad (18)$$

در معادله بالا Ω ناحیه حل جریان، و X بردار مکانی است. بنابراین باید ضرب $(\Phi, U^{(i)})$ بیشینه شود و در شروع برای حذف دامنه، این ضرب داخلی بهنجارسازی می‌شود. برای بهنجار کردن با توجه به فضای توابع Φ ضرب داخلی (Φ, Φ) موجود است. به بیان ریاضی می‌باشد رابطه زیر بیشینه شود:

$$\frac{(\Phi, U^{(i)})}{(\Phi, \Phi)} \quad (19)$$

به علاوه، نکته حائز اهمیت، بزرگی این ضرب داخلی است نه علامت آن، پس برای به حساب آوردن همه $U^{(i)}$ ها از عبارت مریع میانگین استفاده می‌کنیم. پس ما به دنبال تابعی به صورت Φ هستیم که بهترین بیان از مجموعه $U^{(i)}$ ها باشد. به بیان دیگر این تابع باید رابطه زیر را بیشینه کند.

$$\frac{1}{N} \sum_{i=1}^N \left| \frac{(\mathbf{U}^{(i)}, \Phi)}{(\Phi, \Phi)} \right|^2 \quad (20)$$

در رابطه بالا N تعداد نمونه‌ها است که در واقع هر یک از آنها داده‌های یک مسئله گذرا در زمان t هستند. در حقیقت باید در جستجوی تابعی بود که بزرگ‌ترین تصویر مریع میانگین را روی مجموعه $U^{(i)}$ ها داشته باشد. برای به دست آوردن این مهم، تعریف زیر در نظر گرفته می‌شود.

$$K\Phi = \frac{1}{N} \sum_{i=1}^N \int_{\Omega} U^{(i)}(x) U^{(i)}(x') \Phi(x') dx' \quad (21)$$

به امواج راسی و گرانی- لختی استفاده شده است.

۳ روش تجزیه متعامد سره و مدل‌سازی رتبه کاسته

اصلی ترین نتیجه استفاده از توابع متعامد سره تصویر مدل اصلی با تعداد درجات آزادی بالا به یک مدل رتبه کاسته با تعداد درجات آزادی کم است. در روش POD معمولاً یک دستگاه با تعداد درجات آزادی بزرگ N به یک زیرفضا با درجه آزادی کوچک R تبدیل می‌شود (اشرفی، ۱۳۸۵). می‌توان توابع POD را با استفاده از داده‌های متفاوتی به دست آورد. این داده‌ها ممکن است تحلیلی، تجربی یا عددی باشند. در اینجا از داده‌های تحلیلی امواج راسی و گرانی- لختی برای به دست آوردن توابع POD استفاده شده است. این داده‌ها در واقع به صورت نمونه‌های لحظه‌ای با فواصل زمانی خاصی ذخیره می‌شوند. این نمونه‌ها معرف دینامیک جریان‌اند که در زمان‌های متفاوت ذخیره شده‌اند. این داده‌ها یک مجموعه ترکیب خطی را تشکیل می‌دهند که فضایی خطی از داده‌ها را به وجود می‌آورند. در مرحله بعد مقادیر این نمونه‌های لحظه‌ای با هم ترکیب شده و ماتریسی به نام ماتریس همبستگی به وجود می‌آورند. در نهایت تعیین توابع متعامد پایه به یک مسئله مقدار ویژه تبدیل می‌شود که ماتریس مربوطه همان ماتریس همبستگی است. با به دست آوردن مقادیر ویژه و بردارهای ویژه این ماتریس همبستگی شرایط برای محاسبه توابع پایه متعامد سره مهیا می‌شود. در زیر، این مسئله به زبان ریاضی بیان می‌شود.

۱-۳ توابع POD

هدف از کاربرد POD یافتن یک تابع Φ برای دنباله‌ای برداری $U^{(i)}$ است که ساختار عضوهای این دنباله را بیان کند. عضوهای این دنباله در واقع همان نمونه‌های لحظه‌ای‌اند. یکی از روش‌های حل این مسئله تصویر این دنباله روی Φ است. برای این منظور باید

(۲۰) را بیشینه کند. این معادله هنگامی که تعداد درجات آزادی (نقاط شبکه) بزرگتر از تعداد نمونه‌ها باشد مفید خواهد بود. اگر معادلات (۲۱) و (۲۷) در معادله (۲۶) قرار داده شوند پس از ساده‌سازی رابطه زیر حاصل می‌شود.

$$CW = \Lambda W \quad (28)$$

که

$$C_{ij} = \frac{1}{N} \int_{\Omega} U^{(i)}(x) U^{(j)}(x) dx, \quad W = \{w_1, w_2, \dots, w_N\} \quad (29)$$

در مسئله بالا، C یک ماتریس غیرمنفی هرمیتی است که ماتریس همبستگی نامیده است و W ماتریس بردارهای ویژه است. همچنین Λ ماتریس قطری مقادیر ویژه است و به صورت $\Lambda = \text{diag}[\lambda_1, \lambda_2, \dots, \lambda_N]$ نمایش داده می‌شود. بردارهای ویژه موجود در ماتریس W به صورت زیر تعریف می‌شوند.

$$w_1 = [w_1^1, w_2^1, \dots, w_N^1]^T, w_2 = [w_1^2, w_2^2, \dots, w_N^2]^T, \dots, w_N = [w_1^N, w_2^N, \dots, w_N^N]^T \quad (30)$$

علامت T در معادله بالا نماینگر ترانهاده است. بردارهای ویژه به دست آمده، متاظر با مقادیر ویژه $\lambda_1 \geq \lambda_2 \geq \dots \geq \lambda_N \geq 0$ هستند. اکنون می‌توان

حل‌های معادله (۲۰) را به صورت زیر نوشت:

$$\Phi_1 = \sum_{i=1}^N w_i^1 U^{(i)}, \Phi_2 = \sum_{i=1}^N w_i^2 U^{(i)}, \dots, \Phi_N = \sum_{i=1}^N w_i^N U^{(i)} \quad (31)$$

همچنین می‌توان بردار w_1 را طوری بهنجارسازی کرد که شرط زیر را تأمین کند.

$$(w_1, w_1) = \sum_{i=1}^N w_i^1 w_i^1 = \frac{1}{N \lambda_1} \quad (32)$$

این بهنجارسازی در نهایت نتیجه زیر را می‌دهد.

پس

$$\begin{aligned} (K\Phi, \Phi) &= \frac{1}{N} \sum_{i=1}^N \int_{\Omega} \int_{\Omega} U^{(i)}(x) \Phi(x) U^{(i)}(x') \Phi(x') dx dx' \\ &= \frac{1}{N} \sum_{i=1}^N [(U^{(i)}, \Phi)]^2 \end{aligned} \quad (22)$$

به علاوه:

$$\frac{(K\Phi, \Phi)}{(\Phi, \Phi)} = \frac{\frac{1}{N} \sum_{i=1}^N [(U^{(i)}, \Phi)]^2}{(\Phi, \Phi)} = \lambda \quad (23)$$

در رابطه بالا λ در واقع ضریب لاغرانژ در مسئله بهینه‌سازی است و اثبات می‌شود که λ همان مقدار ویژه دستگاه دست است. با استفاده از ریاضیات وردشی می‌توان تابع بیشینه را به صورت زیر پیدا کرد. فرض می‌شود که Φ^* تابعی باشد که λ را بیشینه می‌کند. پس هر تابع دیگری را می‌توان به صورت $\Phi^* + \varepsilon \Phi$ نوشت. پس برای λ رابطه زیر به دست می‌آید.

$$F(\varepsilon) = \frac{(K\Phi^*, \Phi^*) + \varepsilon(K\Phi^*, \Phi') + \varepsilon(K\Phi', \Phi^*) + \varepsilon^2(K\Phi', \Phi')}{(\Phi^*, \Phi^*) + \varepsilon(\Phi^*, \Phi') + \varepsilon(\Phi', \Phi^*) + \varepsilon^2(\Phi', \Phi')} = \lambda \quad (24)$$

با توجه به تعریف Φ^* روش است هنگامی که $\varepsilon = 0$ است مقدار بیشینه λ اتفاق می‌افتد و در نتیجه $\frac{dF(\varepsilon)}{d\varepsilon} \Big|_{\varepsilon=0} = 0$. این مسئله منجر به رابطه زیر می‌شود.

$$(K\Phi^*, \Phi') = \lambda(\Phi^*, \Phi') \quad (25)$$

اکنون کاملاً مشخص است که مسئله بیشینه معادله (۲۰) همانند پیدا کردن مقادیر ویژه مسئله زیر است.

$$K\Phi^* = \lambda\Phi^* \quad (26)$$

همچنین فرض می‌شود که Φ به صورت خاصی بر حسب جملات داده‌های اصلی $U^{(i)}$ تعریف شود.

$$\Phi = \sum_{i=1}^N w_i U^{(i)} \quad (27)$$

که در آن w_i ها طوری تعریف می‌شوند که Φ رابطه

$$\frac{\partial V}{\partial t} = L(V) \quad (36)$$

که در آن

$$L(V) = - \begin{pmatrix} \tilde{gh}_x - f\tilde{v} \\ \tilde{gh}_y + f\tilde{u} \\ H(\tilde{u}_x + \tilde{v}_y) \end{pmatrix} \quad (37)$$

از آنجاکه حالت پایه برای این معادلات حالت ساکن درنظر گرفته شده است، پس هیچ مقدار متوسطی برای متغیرها استفاده نمی‌شود و بسط بر حسب توابع POD به صورت زیر نوشته می‌شود.

$$V(t; x, y) = \sum_{i=1}^R a_i(t) \Phi_i(x, y) \quad (38)$$

با تصویر گالرکین معادله (۳۸) روی توابع پایه POD رابطه زیر به دست می‌آید:

$$(V, \Phi_k) = (L(V), \Phi_k) \quad (39)$$

با این تصویرسازی معادلات آب کم عمق به معادلات دیفرانسیل معمولی تبدیل می‌شوند.

$$\frac{da_k}{dt} = \sum_{i=1}^R L_{ik} a_i, \quad i = 1, 2, 3, \dots, R \quad R \ll N \quad (40)$$

که در آن

$$L_{ik} = (L(\Phi_i), \Phi_k) \quad (41)$$

در معادله (۴۰)، N تعداد نمونه‌های ذخیره شده است. در واقع معادله (۴۰) تعداد R معادله خطی است که می‌توان آنها را به روش‌های معمولی حل کرد. با حل این معادلات، تغییرات زمانی ضرایب توابع POD به دست می‌آیند. در ادامه، تحلیل رتبه کاسته امواج راسی و گرانی-لختی صورت می‌پذیرد و نتایج آنها مورد بررسی و قرار می‌گیرد.

$$(\Phi_l, \Phi_m) = \begin{cases} 1 & l = m \\ 0 & l \neq m \end{cases} \quad (33)$$

این مرحله، مرحله تکمیلی تشکیل مجموعه متعامد $\{\Phi_1, \Phi_2, \dots, \Phi_N\}$ است.

۲-۳ مدل‌سازی رتبه کاسته

به منظور مدل‌سازی رتبه کاسته معادلات آب کم عمق خطی سازی شده در ابتدا باید داده‌های برای تشکیل توابع پایه POD در دسترس باشند. برای دستیابی به چنین داده‌هایی باید شرایط اولیه‌ای برای معادلات درنظر گرفته شوند و در زمان‌های متفاوت، حل‌های مورد نظر ذخیره‌سازی شوند. در همین راستا می‌توان هر شرط اولیه را به صورت جمع مودهای بهنجار دستگاه درنظر گرفت، به طوری که:

$$V(0) = \sum_{j=1}^J A_j V_{sj} \quad (34)$$

در معادله بالا V_s تغییرات مکانی، اندیس j نشان‌دهنده مود J ام و A_j دامنه مربوط به آن است. پس تغییرات زمانی V به صورت زیر حاصل می‌شود.

$$V(t; x, y) = \sum_{j=1}^J A_j V_{sj} e^{-i\omega t} \quad (35)$$

از آنجاکه V_{sj} با استفاده از معادلات (۱۲) تا (۱۴) و مقادیر بسامدهای راسی یا گرانی معلوم‌اند، پس در هر لحظه می‌توان جواب را با استفاده از شرایط اولیه به دست آورد. بنابراین در مدل‌سازی رتبه کاسته معادلات آب کم عمق خطی می‌توان از داده‌های تحلیلی برای تشکیل توابع متعامد سره استفاده کرد. برای مدل‌سازی رتبه کاسته، معادلات حاکم روی توابع POD تصویر می‌شوند و به این ترتیب معادلات دیفرانسیل با مشتقهای جزئی به معادلات دیفرانسیل معمولی تبدیل می‌شوند. برای انجام این منظور، معادله (۷) به صورت زیر بازنویسی می‌شود.

راسی مطابق شکل ۱ به دست می‌آید.

برای بررسی رفتار موج راسی در مدل‌سازی رتبه کاسته دو نوع از ذخیره‌سازی داده‌ها در نظر گرفته می‌شود. در حالت اول ذخیره‌سازی داده‌ها با فواصل کم و در زمان کوتاه ۵ ساعت اولیه و پیش‌بینی ۱۲۰ ساعته با استفاده از مدل رتبه کاسته صورت می‌گیرد. در حالت دوم ذخیره‌سازی داده‌ها با فواصل زمانی زیاد و در ۲۴ ساعت اولیه و در ادامه پیش‌بینی ۱۲۰ ساعته صورت می‌گیرد.

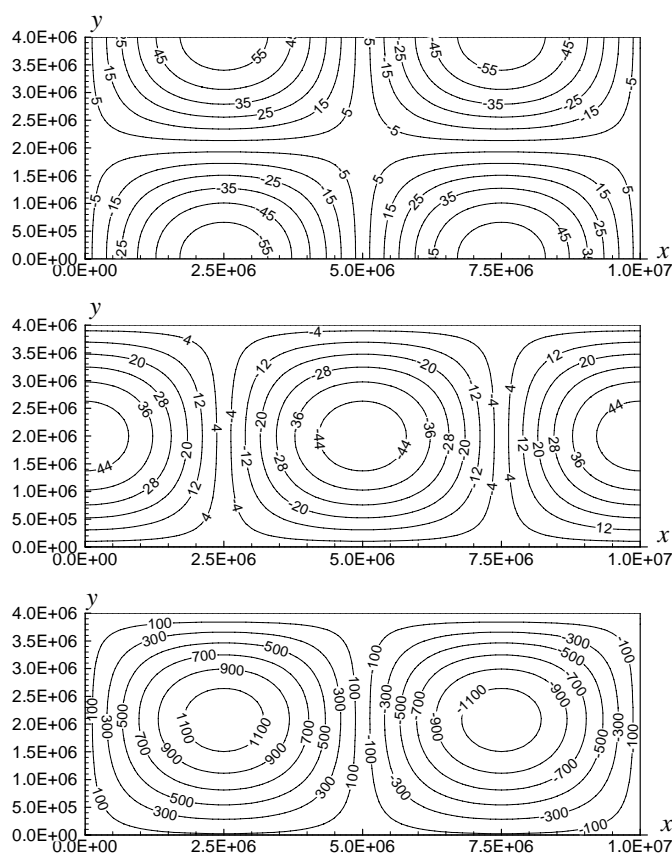
۴ تحلیل امواج راسی با استفاده از توابع تجزیه

متusalem سره

برای مدل‌سازی رتبه کاسته امواج راسی شرایط اولیه به صورت یک تک موج راسی در نظر گرفته می‌شود.

$$V(0) = A_1 V_{sl} \quad (42)$$

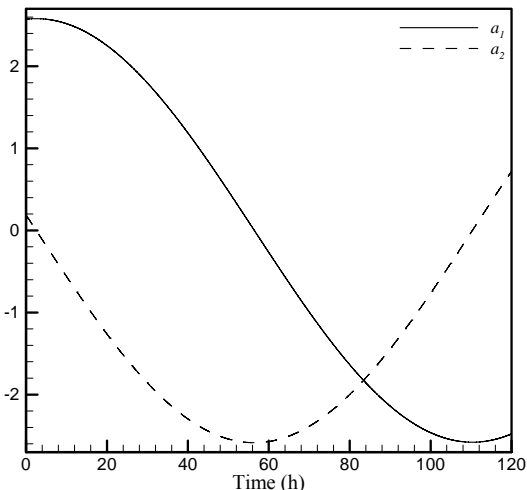
اگر در رابطه بالا مقدار بسامد کوچک از حل معادله (۱۱) قرار داده شود موج راسی حاصل می‌شود. با در نظر گرفتن $L = 1$ ، $K = 1$ ، $A_1 = 50$ یک تک موج



شکل ۱. شرایط اولیه تک موج راسی، مؤلفه u سرعت (بالا)، مؤلفه v سرعت (وسط) و ارتفاع ژئوپتانسیل (پایین).

همان‌طور که در جدول ۱ مشاهده می‌شود به جز دو مود اول بقیه مودها تقریباً صفرن، پس مدل‌سازی رتبه کاسته با ۲ مود POD برای موج راسی مورد نظر قابل اجرا است.

با حل معادلات دیفرانسیل معمولی مرتبه اول (معادله ۴۰) پیش‌بینی برای ۱۲۰ ساعت با استفاده از مدل رتبه کاسته به دست می‌آید. در شکل ۳ تغییرات زمانی a_1 و a_2 برای ۱۲۰ ساعت با استفاده از مدل‌سازی رتبه کاسته نشان داده شده است.



شکل ۳. نحوه تغییرات a_1 و a_2 مربوط به مودهای اول و دوم POD در مدل‌سازی تک موج راسی با ذخیره‌سازی داده‌ها در ۵ ساعت اول.

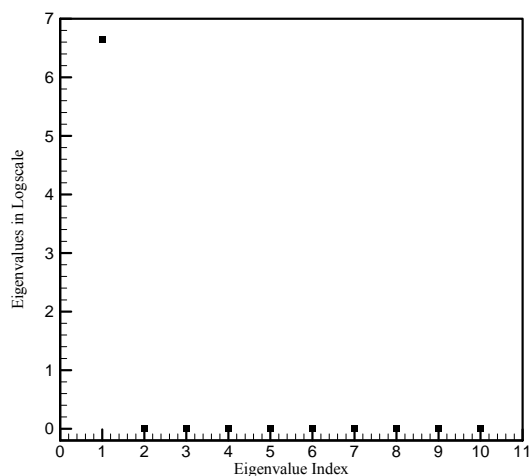
با استفاده از مقادیر به دست آمده برای ضرایب توابع متعامد و خود توابع متعامد می‌توان میدان‌های سرعت و ارتفاع را به دست اورد. این مقادیر پیش‌بینی شده برای ۱۲۰ ساعت در شکل ۴ نشان داده شده‌اند.

۲-۴ ذخیره‌سازی داده‌ها در ۲۴ ساعت اول در این حالت برای مدل‌سازی رتبه کاسته از ذخیره داده‌ها در ۲۴ ساعت اول با ۱۰۰ نمونه استفاده شده است. بنابراین در این حالت فواصل زمانی ذخیره داده‌ها بیشتر

۱-۴ ذخیره‌سازی داده‌ها در ۵ ساعت اول

با استفاده از داده‌های تحلیلی ۵ ساعت اولیه تعداد ۱۰۰ عدد نمونه ذخیره‌سازی می‌شود و با استفاده از معادلات مطرح شده در بخش ۳ توابع پایه متعامد سره برای مدل‌سازی رتبه کاسته به دست می‌آیند. ۱۰ مقدار ویژه اول ماتریس همبستگی C برای این مورد در شکل ۲ نشان داده شده است.

همچنین این مقادیر برای وضوح بیشتر در جدول ۱ آورده شده‌اند.



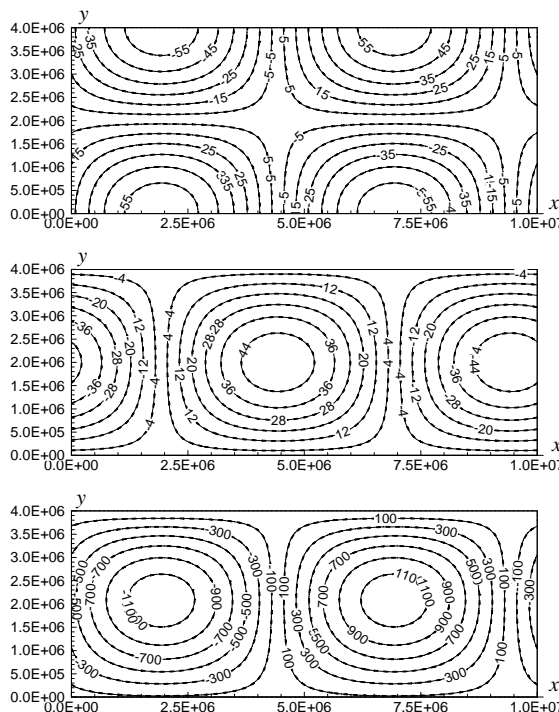
شکل ۲. مقادیر ویژه ۱۰ مود اول از ۱۰۰ مود در مقیاس لگاریتمی برای تک موج راسی با ۵ ساعت ذخیره‌سازی داده‌ها.

جدول ۱. ۱۰ مقدار ویژه از ۱۰۰ مقدار ویژه برای تک موج راسی با ۵ ساعت ذخیره‌سازی داده‌ها.

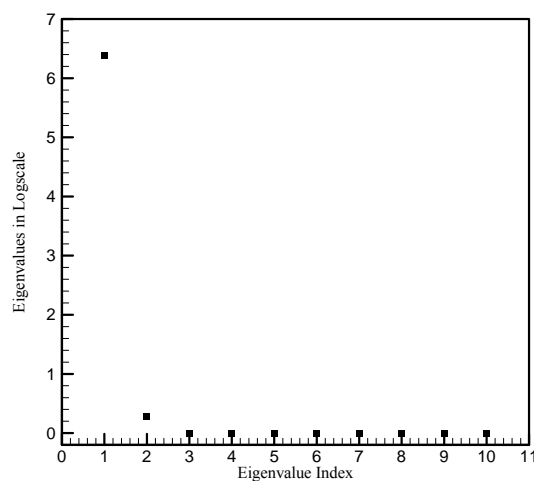
ردیف	اندازه مقادیر ویژه
۱	6.644288718925504
۲	1.208777292608873 $\times 10^{-2}$
۳	2.309288955059397 $\times 10^{-15}$
۴	2.017905016184303 $\times 10^{-15}$
۵	1.938605530080561 $\times 10^{-15}$
۶	1.856317636698366 $\times 10^{-15}$
۷	1.762187440398690 $\times 10^{-15}$
۸	1.752907082626522 $\times 10^{-15}$
۹	1.699902032749440 $\times 10^{-15}$
۱۰	1.581499417090060 $\times 10^{-15}$

نشان داده شده است. در شکل ۵ مشاهده می‌شود که جزء دو مقدار ویژه اول بقیه مقادیر تقریباً صفرند. نحوه تغییرات a_k ها همانند شکل ۳ است و از آوردن مجدد آنها خودداری می‌شود. مقادیر میدان‌های باد و ارتفاع ژئوپتانسیل در مقایسه با حل تحلیلی در شکل ۶ نشان داده شده است.

از حالت قبل است. هدف از درنظر گرفتن این حالت آن است که ببینیم آیا می‌توان با احتساب فواصل زمانی بیشتر برای ذخیره‌سازی نمونه‌ها به جواب درست دست یافت یا خیر؟ با استفاده از معادلات مطرح شده در بخش سوم، توابع پایه متعامد برای این حالت محاسبه می‌شود. ۱۰ مقدار ویژه اول ماتریس همبستگی C در شکل ۵



شکل ۴. مدل‌سازی رتبه کاسته تک موج راسی با ذخیره‌سازی داده‌ها در ۵ ساعت اول، خط‌های ممتد نشان دهنده حل تحلیلی و خط‌چین‌ها نشان دهنده حل رتبه کاسته‌اند، مؤلفه u سرعت (بالا)، مؤلفه v سرعت (وسط) و ارتفاع ژئوپتانسیل (پایین).



شکل ۵. مقادیر ویژه ۱۰ مود اول از ۱۰۰ مود در مقیاس لگاریتمی برای تک موج راسی با ۲۴ ساعت ذخیره‌سازی داده‌ها.

سرعت انتشار بسیار بیشتری اند، لذا مدل‌سازی رتبه کاسته این امواج می‌بایست تفاوت‌هایی با امواج راسی داشته باشد. با استفاده از ذخیره‌سازی 10^0 نمونه در ۵ ساعت اول، میدان‌های سرعت و ارتفاع برای 120 ساعت با شبیه‌سازی رتبه کاسته POD به صورت شکل ۸ به دست می‌آید. همان‌طور که در شکل ۸ مشاهده می‌شود مدل‌سازی رتبه کاسته امواج گرانی-لختی با این‌گونه ذخیره‌سازی داده‌ها موفقیت‌آمیز نیست در حالی که برای امواج راسی حتی با ذخیره‌سازی داده‌ها در 24 ساعت اول جواب‌های دقیقی به دست آمد.

از آنجاکه امواج گرانی-لختی با سرعت بالایی منتشر می‌شوند، بنابراین برای تحلیل POD آنها می‌بایست فواصل زمانی نمونه‌گیری را کم کرد و تعداد آنها را افزایش داد. در همین راستا با آزمون‌های عددی تفاوت، بهترین نتیجه برای پیش‌بینی 120 ساعتی با ذخیره‌سازی 400 نمونه در $0/1$ ساعت به دست آمده است. این نتایج برای میدان‌های سرعت و ارتفاع در شکل ۹ نشان داده شده‌اند.

شکل ۶ نشان می‌دهد با اینکه فاصله ذخیره‌سازی نمونه‌ها بیشتر شده‌است تغییری در پیش‌بینی مدل رتبه کاسته نسبت به حل تحلیلی به وجود نیامده است. این امر بیان‌گر این نکته است که مقیاس زمانی امواج راسی به اندازه‌ای است که می‌توان با ذخیره‌سازی نمونه‌ها با مقادیر بزرگ‌تر، رفتار آنها را بدون مشکلی شبیه‌سازی کرد.

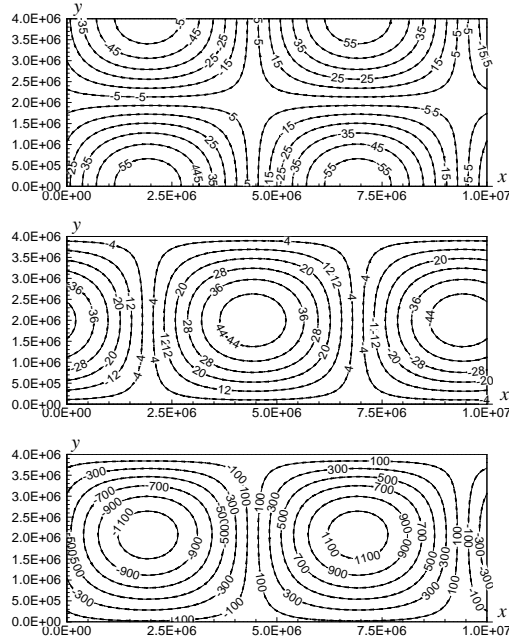
۵ تحلیل امواج گرانی با استفاده از توابع تجزیه متعامد سره

برای مدل‌سازی رتبه کاسته امواج گرانی-لختی، شرایط اولیه به صورت یک تک موج گرانی-لختی به صورت زیر در نظر گرفته می‌شود.

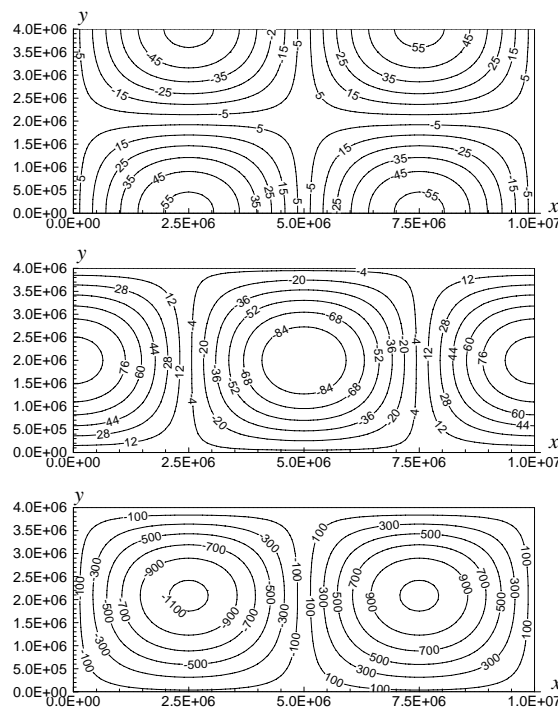
$$V(0) = A_1 V_{s1} \quad (43)$$

اگر در رابطه بالا دو مقدار بسامد بزرگ از حل معادله (۱۱) قرار داده شوند موج گرانی-لختی حاصل می‌شود. با در نظر گرفتن $L=1$ ، $K=1$ و $A_1=50$ یک تک موج راسی مطابق شکل ۷ به دست می‌آید.

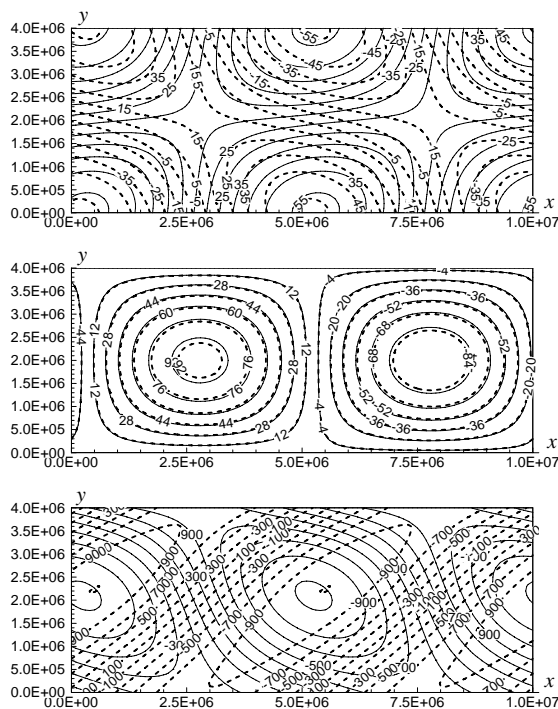
اماوج گرانی-لختی نسبت به امواج راسی دارای



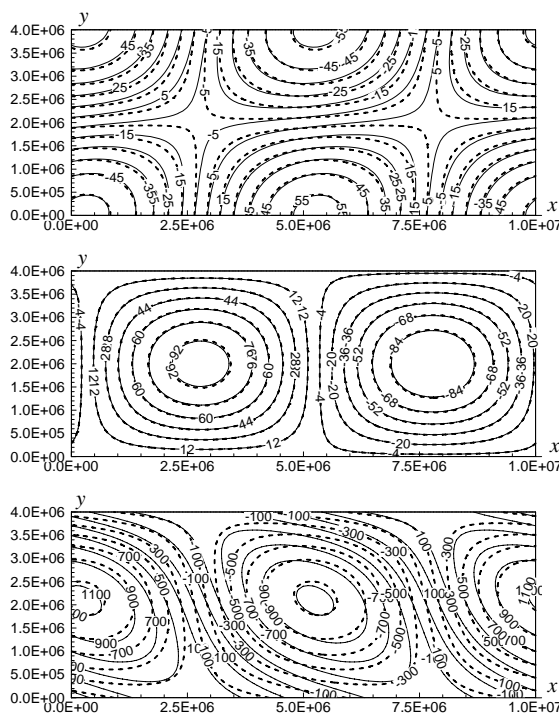
شکل ۶. مدل‌سازی رتبه کاسته تک‌موج راسی با ذخیره‌سازی داده‌ها در 24 ساعت اول، خط‌های ممتد نشان‌دهنده حل تحلیلی و خط‌چین‌ها نشان دهنده حل رتبه کاسته است، مؤلفه u سرعت (بالا)، مؤلفه v سرعت (وسط) و ارتفاع ژئوبتانسیل (پایین).



شکل ۷. شرایط اولیه تک موج گرانی-لختی، مؤلفه u سرعت (بالا)، مؤلفه v سرعت (وسط) و ارتفاع ژئوپتانسیل (پایین).



شکل ۸ مدل‌سازی رتبه کاسته تک موج گرانی-لختی با ذخیره‌سازی داده‌ها در ۵ ساعت اول، خط‌های ممتد نشان‌دهنده حل تحلیلی و خط‌چین‌ها نشان دهنده حل رتبه کاسته هستند، مؤلفه u سرعت (بالا)، مؤلفه v سرعت (وسط) و ارتفاع ژئوپتانسیل (پایین).



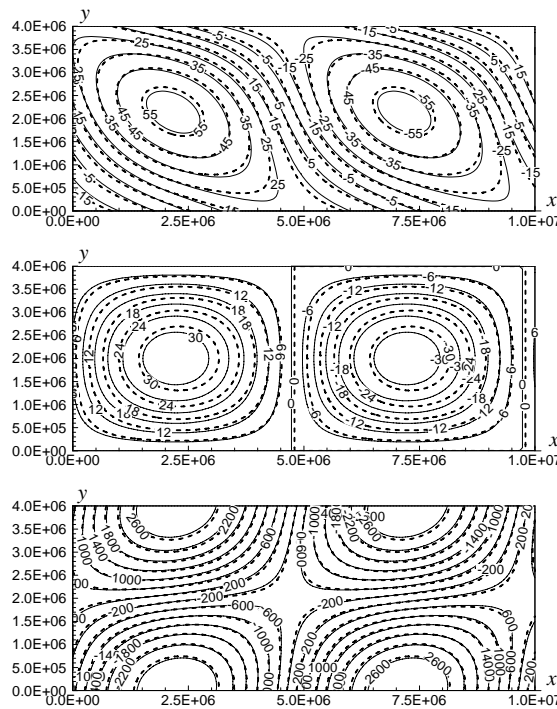
شکل ۹. مدل‌سازی رتبه کاسته ۱۲۰ ساعته تک موج گرانی- لختی با ذخیره‌سازی ۴۰۰ نمونه در $1/400$ سرعت (بالا)، مؤلفه ۷ سرعت (وسط) و ارتفاع ژوپیتانسیل (پایین).

گرانی- لختی دارای دو بسامد در جهت‌های متفاوت است در صورتی که یک موج راسی فقط دارای یک بسامد است. در حقیقت هر بسامد انتشار با دو مود شبیه‌سازی می‌شود. زیراکه هر بسامد هنگامی که در جمله $\mathcal{E}^{i\omega}$ قرار می‌گیرد یک قسمت حقیقی و یک قسمت موهومی به وجود می‌آورد. ۱۰ مقدار ویژه اول از 400 مقدار ویژه ماتریس C برای تک موج گرانی لختی در جدول ۲ آمده است.

نمودار تغییرات زمانی ضرایب توابع POD برای چهار مود اول در طی 96 ساعت در شکل ۱۱ نشان داده شده است. با توجه به شکل ۱۱ و مقایسه آن با شکل ۳ می‌توان به رفتار متفاوت این امواج پی‌برد. در واقع این دو شکل بیانی از رفتار زمانی امواج راسی و گرانی هستند که در ضرایب زمانی توابع POD ظاهر می‌شوند.

همان‌طور که در شکل ۹ نشان داده شده است، جواب‌های مدل‌سازی رتبه کاسته بسیار به جواب‌های تحلیلی نزدیک شده‌اند ولی هنوز تفاوت‌هایی با حل تحلیلی دارند. یکی از دلایل این تفاوت، زمان انTEGRال‌گیری طولانی 120 ساعته است. با انتگرال‌گیری معادلات تا 96 ساعت جواب‌ها از دقت کافی برخوردار می‌شوند. نتایج میدان‌های سرعت و ارتفاع برای 96 ساعت در شکل ۱۰ نشان داده شده است.

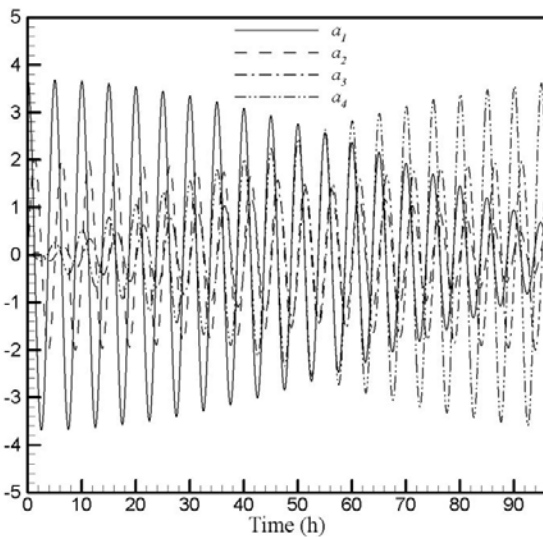
از دیگر اختلاف‌های مربوط به تحلیل POD امواج گرانی- لختی با امواج راسی در تعداد مودهای POD لازم برای این تحلیل است. در تحلیل یک تک موج راسی فقط به دو مود POD نیاز است در حالی که برای تحلیل تک موج گرانی- لختی به چهار مود POD نیاز است. این اختلاف از آنجا ناشی می‌شود که یک موج



شکل ۱۰. مدل‌سازی رتبه کاسته ۹۶ ساعته تک موج گرانی-لختی با ذخیره‌سازی ۴۰۰ نمونه در ۱/۰ ساعت اول، خط‌های ممتد نشان‌دهنده حل تحلیلی و خط‌چین‌ها نشان‌دهنده حل رتبه کاسته‌اند، مؤلفه u سرعت (بالا)، مؤلفه v سرعت (وسط) و ارتفاع ژئوپتانسیل (پایین).

جدول ۲. مقدار ویژه اول از ۴۰۰ مقدار ویژه برای موج گرانی-لختی با ۱/۰ ساعت ذخیره‌سازی داده‌ها.

ردیف	اندازه مقادیر ویژه
۱	6.762750253238046
۲	2.034280488184148
۳	6.917654866961054 $\times 10^{-2}$
۴	2.102612040750314 $\times 10^{-2}$
۵	3.356762101362050 $\times 10^{-15}$
۶	2.761283150521713 $\times 10^{-15}$
۷	2.497232453864458 $\times 10^{-15}$
۸	2.319731986621098 $\times 10^{-15}$
۹	2.132815868675868 $\times 10^{-15}$
۱۰	2.058039606953476 $\times 10^{-15}$



شکل ۱۱. نحوه تغییرات a_1 تا a_4 مربوط به مودهای اول تا چهارم POD در مدل‌سازی تک موج گرانی- لختی با ذخیره‌سازی ۴۰۰ نمونه در ۰/۱ ساعت اول.

زمانی موج راسبی در حدود ۱۰ روز (نصف موج در ۵ روز) برای کanal فرض شده است، در صورتی که مقیاس زمانی از شکل ۱۱ برای موج گرانی- لختی در کanal مورد نظر در حدود ساعت (۲۰ مرتبه تکرار موج در ۹۶ ساعت) برآورد می‌شود.

از دیگر نکات قابل توجه در تحلیل POD امواج راسبی و گرانی پیش‌بینی دینامیک موج راسبی با دو مود POD و دینامیک موج گرانی- لختی با چهار مود است. این مسئله از آنجا ناشی می‌شود که دو مود قابلیت شبیه‌سازی یک بسامد را دارد، زیرا هر بسامد هنگامی که در جمله زمانی قرار می‌گیرد یک قسمت حقیقی و یک قسمت موهومی ایجاد می‌کند. بنابراین یک تک موج راسبی که فقط یک بسامد انتشار دارد، با دو مود POD شبیه‌سازی می‌شود و موج گرانی- لختی که دو بسامد انتشار دارد با چهار مود POD شبیه‌سازی می‌شود. در کارهای آینده می‌توان از نتایج این تحقیق استفاده کرد و امواج راسبی و گرانی- لختی را در داده‌های تجربی با استفاده از توابع POD بررسی کرد. این تحقیق می‌تواند

۶ جمع‌بندی و نتیجه‌گیری

در این مقاله در ابتدا امواج راسبی و گرانی- لختی از معادلات آب کم‌عمق خطی‌سازی شده استخراج شدند. با استفاده از مقادیر استخراج شده برای بسامدهای امواج راسبی و گرانی- لختی حل‌های تحلیلی معادلات آب کم‌عمق خطی‌سازی شده به دست آمدند. از حل‌های تحلیلی یک تک موج راسبی و گرانی- لختی داده‌های لازم برای تشکیل توابع پایه متعامد سره فراهم شدند. با ذخیره‌سازی ۱۰۰ نمونه لحظه‌ای در ۵ ساعت و ۲۴ ساعت اول برای موج راسبی، این موج تا ۱۲۰ ساعت با استفاده از مدل‌سازی رتبه کاسته بر پایه توابع POD به درستی و دقت مناسبی پیش‌بینی شده است. این در حالی است که این مسئله برای موج گرانی- لختی با ذخیره‌سازی ۴۰۰ نمونه در ۰/۱ ساعت اولیه قابل اجرا است و در ضمن، ساعت پیش‌بینی به ۹۶ ساعت کاهش می‌یابد. این اختلاف در مدل‌سازی رتبه کاسته دو موج از مقیاس‌های زمانی آنها ناشی می‌شود. با مقایسه دو شکل ۳ و ۱۱ این اختلاف به وضوح دیده می‌شود. در شکل ۳ روشن است که مقیاس

- Holmes, P., Lumley, J. L., and Berkooz, G., 1996, Turbulence, coherent structures, dynamical system and symmetry, Cambridge University Press, pp. 438.
- Hoskins, B. J., McIntyre, M. E., and Robertson, A. W., 1985, On the use and significance of isentropic potential-vorticity maps. *Q. J. Roy. Meteor. Soc.*, **111**, 877-946.
- Karhunen, K., 1946, Zur spektral theorise stochastischer prozesse, *Ann Acad Sci Fenn, Ser A1 Math. Phys.*, **34**, 1-7.
- Loeve, M., 1946, Function aleatoire de second order, *Rev. Sci.*, **84**, 195-206.
- Lumley, J. L., 1967, The structure of inhomogeneouse turbulence in atmospheric turbulence and radio wave propagation, Yaglom Am. Tatarok: VA (eds) Nauka: Moscow, 166-178.
- Rossby, C. G., 1939, Relation between variations in the intensity of the zonal circulation of the atmosphere and the displacements of the semi-permanent centers of action, *J. Mar. Res.*, **2**, 38-55.
- Sirosup, S., Karniadakis, G. E., Xiu, D., and Kevrekidis, I. G., 2005, Equation-free/Galerkin-free POD-assisted computation of incompressible flows, *J. Comput. Phys.*, **207**, 568-587.
- Sirovich, L., 1987, Turbulence and the dynamics of coherent structures: Part I-III, *Q. Appl. Math.*, **45**, 561-590.
- Viudez, A., and Dritschel, D. G., 2002, An explicit potential vorticity conserving approach to modelling nonlinear internal gravity waves. *J. Fluid Mech.*, **458**, 75-101.
- Dickinson, R. E., 1978, Rossby waves long-period oscillations of oceans and atmospheres, *Annu. Rev. Fluid Mech.*, **10**, 159-195.
- Dritschel, D. G., and Viudez, A., 2003, A balanced approach to modelling rotating stably stratified geophysical flows, *J. Fluid Mech.*, **488**, 123-150.
- Ford, R., McIntyre, M. E., and Norton, W. A., 2000, Balance and the slow quasimaniold: some explicit results. *J. Atmos. Sci.*, **57**, 1236-1254.
- Haltiner, G. J., and Williams, R. T., 1980, Numerical prediction and dynamical meteorology, 2nd edition, John Wiley & Sons.

در پدیدههای متفاوت جوی صورت گیرد و مقیاسهای متفاوت مورد بررسی قرار گیرند.

تشکر و قدردانی

نویسندهان مقاله نهایت تشکر و قدردانی خود را از دانشگاه تهران، پژوهشگاه هوافناکی و علوم جوی و مرکز پیشینی سازمان هوافناکی کشور که با فراهم آوردن امکانات لازم راه را برای عملی شدن این تحقیق هموار کردند، ابراز می‌دارند.

منابع

- اشرفی، خ., ۱۳۸۵، شیوه‌سازی غیر دائم معادلات آب کم عمق توسط مدل‌سازی رتبه کاسته براساس روش تجزیه متعامد سره، رساله دکتری، دانشکده مهندسی مکانیک، دانشگاه تهران.
- اصفهانیان، و.، و اشرفی، خ., ۱۳۸۴، مدل‌سازی رتبه کاسته معادلات آب کم عمق یک بعدی با استفاده از توابع POD بدون تصویر گالرکین، چهارمین همایش پیشینی عددی وضع هوا، تهران.
- محب‌الحججه، ع. ر., ۱۳۷۰، حل عددی معادلات دیفرانسیلی آب کم عمق، پایان‌نامه کارشناسی ارشد، مؤسسه ژئوفیزیک، دانشگاه تهران.

- Dickinson, R. E., 1978, Rossby waves long-period oscillations of oceans and atmospheres, *Annu. Rev. Fluid Mech.*, **10**, 159-195.
- Dritschel, D. G., and Viudez, A., 2003, A balanced approach to modelling rotating stably stratified geophysical flows, *J. Fluid Mech.*, **488**, 123-150.
- Ford, R., McIntyre, M. E., and Norton, W. A., 2000, Balance and the slow quasimaniold: some explicit results. *J. Atmos. Sci.*, **57**, 1236-1254.
- Haltiner, G. J., and Williams, R. T., 1980, Numerical prediction and dynamical meteorology, 2nd edition, John Wiley & Sons.